

УДК 616.831—009.86

О. А. Ващенко

## ЦЕРЕБРАЛЬНА ГЕМОДИНАМІКА У ХВОРИХ З УРАЖЕННЯМ ГІПОТАЛАМУСА ЗА ДАНИМИ РЕОЕНЦЕФАЛОГРАФІЧНИХ ДОСЛІДЖЕНЬ

Численними експериментальними дослідженнями показана важливість роль гіпоталамуса в нейрогуморальній регуляції вегетативно-судинних функцій організму — загальної і церебральної гемодинаміки.

Участь гіпоталамуса в цій регуляції підтверджується спостереженнями клініцистів при вивченні патології проміжного мозку у хворих.

Переважання вегетативно-судинних розладів у хворих з гіпоталамічним синдромом дало можливість виділити в окрему нозологічну одиницю вегетативно-судинний синдром [5, 10].

Виходячи з наведених даних, реоценцефалографічні дослідження можуть дати більш детальну характеристику церебральної гемодинаміки, сприяти вірному розумінню патофізіологічних механізмів її порушення і розв'язанню практично важливих питань генезу, діагностики, об'єктивної оцінки і лікування цереброваскулярних розладів у хворих з гіпоталамічним синдромом.

Реоценцефалографія (РЕГ) посідає видне місце серед сучасних спеціальних методів дослідження мозкової гемоциркуляції в клінічних умовах [6, 11, 12, 14]. Реоценцефалографічна крива відображає пульсові коливання кровонаповнення та еластичність і тонус судин мозку.

Вивченю РЕГ картини церебральної гемодинаміки при ураженні діенцефальної ділянки мозку присвячені лише поодинокі дослідження [1, 2, 13]. Проте при цьому автори не враховували залежність змін від стану активності нейрогормональних систем.

### Методика досліджень

Досліди провадили з допомогою чотиріканального реографа типу 4РГ-1А з реєстрацією на восьмиканальному електроенцефалографі при швидкості руху паперу 15, 30 і 60 мм/сек. РЕГ реєстрували синхронно з обох півкуль з використанням лобно-сківального відведення, що відображає стан гемодинаміки в басейні внутрішньої сонячної артерії.

Нами обстежено 30 хворих (в напівлежачому положенні) з вегетативно-судинним гіпоталамічним синдромом віком від 23 до 46 років. Для контролю обстежено вісім практично здорових осіб такого ж віку.

Аналіз РЕГ проводили за методом Еніні [7]. При візуальній оцінці звертали увагу на форму кривої, її регулярність, форму вершини, кількість додаткових хвиль, чіткість інцизури і дикротичного зубця, паяність венозної хвилі. На кожній РЕГ певний показник обчислювали по трьох підряд розміщених пульсових циклах (рис. 1).

Елементи РЕГ кривої (вершина  $b$ ,  $x$ ,  $b_1$ ) в дослідженнях Еніні визначали як точку скачку в напрямку відповідної дотичної, в наших дослідженнях проводилась реєстрація першої похідної реографічної кривої (рис. 2, 3, 4).

Ми брали до уваги такі інтервали (з точністю до 0,01 сек) кривих (рис. 1): 1) тривалість всього пульсового циклу ( $T$ ), що відповідає періоду серцевого циклу і об'єктивно відображає частоту пульсу; 2) інтервал кривої від її початку до інцизури ( $a\theta$ ), який

відображає період вигнання і лежить від об'єму виштовхнувого м'яза; 3) час швидкого коливання до першої вершини його тривалість пов'язана з устінок великих судин, тобто в 4) інтервал від зубця  $R$  синхронізованого до судин досліджуваної артерії; 5) час систолічного підйому —  $(ax)$ ; вершина кривої неповністю відрізку пульсового циклу; зміщення  $(ax)$  супроводжує відображення кінця швидкого вінчичного напруженням стінок судин; 6) інтервал від абсолютної хвилі ( $hg$ ), який дозволяє об'єктивно відобразити зміщення зубця до кінця діасистентності стінок дрібних артерій, а

оскільки частота серцевих та пульсових хвиль —  $ab/T$ ,  $ax/T$ ,  $hg/T$ .

Для визначення форми Р контурний її аналіз, враховуючи пізнью систолічну хвилі —  $A_b$  (це так звані показники конфігурації) інтервалу  $ba-A_{11}$  —  $\rho$

Дані амплітуди виражали відносно  $A_b$ . Звичайно  $A_1$  заміщувалась  $A_{11}$  — за дикротичною хвиллю.

Конфігурація діастолічної хвилі залежить від умов відтоку крові від стінок судин [11, 14].

Одержані цифрові дані оброблювалися за допомогою комп'ютера «Мир» методом варіаційного аналізу.

### Результати

#### Особливості зрушень вегетативно-судинним гіпотонієм

Обстежено 11 жінок з хронічним гіпоталамічним синдромом. Апаратний артеріальний тиск коливався від 70—55 мм рт. ст.

Вегетативно-судинні розлади відзначалися постійному головному болю з локалізацією в лобно-вискоці. Вегетативні розлади звичайно відмічалися підвищеним стомлею, але залежать від тенденції до прояву у них типом.

При візуальному аналізі виявлено пізня систолічна хвиля, що досягає рівня першої систолічної хвилі. РЕГ реельно вимальовується.

У чотирьох хворих форма кривої відрізняється від звичайної, закругленою вершиною, та дикротичною хвиллю. На катакротичній хвилі, глибока інцизура

відображає період вигнання крові, тобто систолічний відділ кривої; його тривалість залежить від об'єму виштовхнутої крові, периферичного опору і сили скорочення серцевого м'яза; 3) час швидкого систолічного підйому — інтервал від початку пульсового коливання до першої вершини ( $A_b$ ), який відповідає періоду швидкого вигнання крові; його тривалість пов'язана з ударним об'ємом крові і залежить від модуля пружності стінок великих судин, тобто від їх структурних властивостей і функціонального стану; 4) інтервал від зубця  $R$  синхронно записаної ЕКГ до початку РЕГ ( $R_a$ ), так званий час запізнення пульсової хвилі; він відповідає часу проходження хвилі від початку аорти до судин досліджуваної ділянки і дає інформацію про пружність стінок судин; 5) час систолічного підйому — інтервал від початку кривої до абсолютного максимуму ( $A_x$ ); вершина кривої непостійна, її можуть утворювати різні відділи систолічного відрізу пульсового циклу; зміщення вершини до кінця систолічного відрізу кривої (збільшення  $A_x$ ) супроводжується підвищеннем цього відрізу кривої над точкою, яка відображає кінець швидкого вигнання крові, що може бути зумовлено підвищеним точінним напруженням стінок судин малого калібра, тобто зростанням периферичного опору; 6) інтервал від абсолютноного максимуму кривої до вершини дикротичного зубця ( $x_g$ ), який дозволяє об'єктивно оцінити його розміщення по відношенню до вершини; зміщення зубця до кінця діастолічного періоду кривої свідчить про зменшення пружності стінок дрібних артерій, а його зміщення до вершини — про підвищення їх тонусу.

Оскільки частота серцевих скорочень може значно змінюватися, ми брали до уваги тривалість пульсового циклу і обчислювали в процентах такі відношення:  $a_b/T$ ,  $a_b/T$ ,  $a_x/T$ ,  $x_g/T$ .

Для визначення форми РЕГ кривої крім візуальної оцінки провадили кількісний контурний її аналіз, враховуючи такі показники конфігурації: а) амплітуду на рівні пізньої систолічної хвилі —  $A_b$ ; б) амплітуду на рівні передньої  $1/4$  інтервалу  $b_a - A_1$  (це так звані показники конфігурації систолічного відділу кривої); в) амплітуду на рівні  $1/2$  інтервалу  $b_a - A_{11}$  — показник конфігурації діастолічного відділу.

Дані амплітуди вирахували в процентах від амплітуди на рівні першої вершини —  $A_b$ . Звичайно  $A_1$  заміщувалася за пізньою систолічною хвиллю близько від інцизури, а  $A_{11}$  — за дикротичною хвиллю. Величини  $A_b$ ,  $A_1$  залежать від периферичного судинного опору.

Конфігурація діастолічної частини РЕГ ( $A_{11}$ ), розміщеної за дикротичним зубцем, залежить від умов відтоку крові з артерії у вені.

Ми враховували амплітуди на рівні абсолютноного максимуму кривої ( $A_x$ ) і на рівні першої вершини ( $A_b$ ) в омах, які є показниками інтенсивності кровонаповнення судин [11, 14].

Одержані цифрові дані оброблені за допомогою електронно-обчислювальної машини «Мир» методом варіаційної статистики.

### Результати дослідження та їх обговорення

**Особливості зрушення показників реоенцефалограм у хворих з вегетативно-судинним гіпотонічним гіпоталамічним синдромом.**

Обстежено 11 жінок з клінічно чітким вегетативно-судинним гіпотонічним гіпоталамічним синдромом віком від 23 до 41 року. Максимальний артеріальний тиск коливався в межах 115—90 мм рт. ст., а мінімальний — 70—55 мм рт. ст.

Вегетативно-судинні розлади у даних хворих проявлялися в майже постійному головному болі здавлюючого характеру, із здебільшою його локалізацією в лобно-висково-тім'яній ділянці, відчутті тяжкості в голові. Вегетативні розлади звичайно поєднуються з різкою загальною слабкістю, підвищеним стомленням, астенією, адинамією хворих і проявляють тенденцію до прояву у вигляді кризів переважно за парасимпатичним типом.

При візуальному аналізі РЕГ у більшості хворих привертає увагу чітко виявлена пізня систолічна хвilia, яка значно зміщена вгору, але не досягає рівня першої систолічної хвилі, в результаті чого крива набирає вигляду початкового плато. На катакротичній (низхідній) частині РЕГ рельєфно вимальовується інцизура та дикротичний зубець (рис. 2).

У чотирьох хворих форма кривої характеризується гострою або злегка закругленою вершиною, утвореною за рахунок основної, першої систолічної хвилі. На катакроті відзначалася добре виражена пізня систолічна хвilia, глибока інцизура та високий дикротичний зубець (рис. 3).

Кількісна оцінка РЕГ дала можливість прослідкувати за зрушениями ряду гемодинамічних показників, які спостерігаються в басейні внутрішньої сонної артерії. Слід відзначити, що ці зрушення носили у більшості обстежених цієї групи однотипний характер.

Для хворих з вегетативно-судинним гіпотонічним гіпоталамічним синдромом характерне вкорочення пульсового циклу та його систолічного відділу в порівнянні з контролем (див. таблицю), що вказує на прискорення серцевих скорочень. Це підтверджується даними інших авторів [1, 10], які спостерігали у таких хворих серцеві порушення в вигляді серцебиття, почастішання пульсу, інколи приступи пароксизмальної тахікардії. Однак відносне значення показника  $a\delta$  ( $a\delta/T$ ) навіть дещо

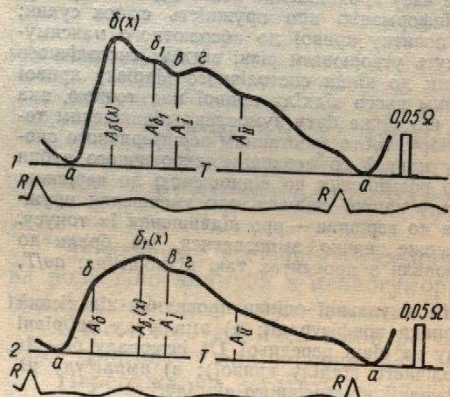


Рис. 1. Реоенцефалограма лобно-носковидного відведення здорових осіб різного віку:  
1 — 25-річного, 2 — 68-річного [за 7].

перевищувало його значення в контрольній групі, тому вкорочення абсолютноного часу систолічного відділу, напевно, не слід розглядати як показник зниження скоротливої здатності міокарда, а, ймовірно, зумовлене

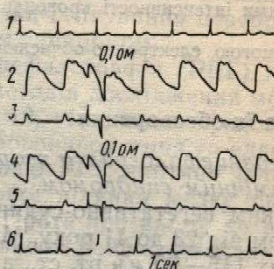


Рис. 2. Реоенцефалограма хворої А, 37 років, з вегетативно-судинним гіпотонічним синдромом.

1, 6 — ЕКГ. 2 — РЕГ правої півкулі, 3 — її перша похідна, 4 — РЕГ лівої півкулі, 5 — її перша похідна.

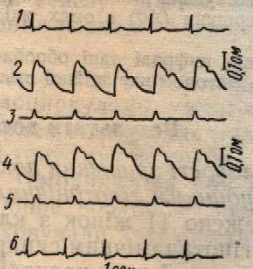


Рис. 3. Реоенцефалограма хворої М., 23 років, з вегетативно-судинним гіпотонічним гіпоталамічним синдромом.

не наявною тахікардією. Наші дані узгоджуються з результатами Марченка, Дінабург [10], які відзначили у 85% навіть молодих хворих з гіпотонічним гіпоталамічним синдромом лише дистрофічні зміни міокарда без порушення його скоротливої здатності, в розвитку яких автори надають великого значення рефлекторному дистрофічному впливу на тонус і трофіку серцевого м'яза, викликаному ураженням гіпоталамуса. Analogічні зміни серцевого м'яза описані іншими дослідниками [3, 4].

Привертає увагу збільшення абсолютноного і відносного значення часу швидкого систолічного підйому ( $a\delta$  і  $a\delta/T$ ), що свідчить про зниження

#### Церебральна гемодинаміка

модуля пружності і підвищеної стійкості басейну.

Щодо показника часу хворих даної групи в усіх випадках, та інтервал  $a\delta$  зменшилося відповідно до зменшення амплітуди  $A\delta_1$  і  $A_1$  дикротичного зубця до існування змін параметрів зниження активності скріпок дрібних артерій та зменшення їх тонусу.

Рис. 4. Реоенцефалограма хворої з вегетативно-судинним гіпотонічним синдромом.

Умовні позначення діє

Редукція показника  $a\delta$  та зменшення амплітуди  $A\delta_1$ , свідчить про зниження тонусу міокарда.

У восьми хворих відмінної стійкості збільшення кропки амплітуди  $A_1$  була менша, ніж зменшення тонусу міокарда.

Отже, зіставляючи результати дослідження хворих з гіпотонічним синдромом можна зробити такий висновок: у хворих з гіпотонічним синдромом можна зробити такий вигляду початкового плато дикротичного зменшення тонусу міокарда, але зі збільшеною кропкою амплітуди  $A_1$  та зменшеною кропкою амплітуди  $A\delta_1$ . Це свідчить про збільшення кропки амплітуди  $A_1$  та зменшеною кропкою амплітуди  $A\delta_1$ . Це свідчить про збільшення кропки амплітуди  $A_1$  та зменшеною кропкою амплітуди  $A\delta_1$ .

Наши дані співзвучні з результатами дослідження хворих з гіпотонічним синдромом, що підтверджується зменшеннем тонусу міокарда.

Реоенцефалографічні дії хворих з гіпотонічним синдромом.

Всього було обстежено 80 хворих з гіпотонічним синдромом, які згруповані за симптоматикою: 1 — з гіпотонічним синдромом; 2 — з гіпоталамічним синдромом; 3 — з гіпоталамо-гіпофізарно-надніжно-гіпотонічним синдромом.

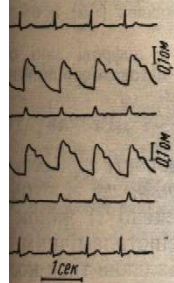
6 — Фізіологічний журнал, № 1.

слідкувати за зрушенннями, які відбуваються в басейні внутрішнього обстеження хворих у більшості. Особливим гіпоталамічним циклом та його систолічною фазою в порівнянні з контролем (таблицю), що вказує кореня серцевих скорочень підтверджується даними авторів [1, 10], які спостерігають таких хворих серцеві вибухи вигляді серцебиття, а не пульсу, інколи при артеріальній тахікардії відносне значення показника  $(ab/T)$  навіть дещо

Реоенцефалограма лобно-сирингометричного відведення здорових осіб різного віку:

1 — 18-річного, 2 — 68-річного [за 7].

під, тому вкорочення абсолютно слід розглядати як по-да, а, ймовірно, зумовлене



Реоенцефалограма хворої М., 23 років, з вегетативно-судинним гіпоталамічним синдромом.  
1 — похідна, 4 — РЕГ на.

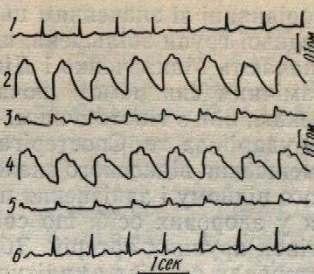
ться з результатами. Маневрів молодих хворих з дистрофічні зміни міокарда в розвитку яких автори профічному впливу на тургінським гіпоталамусом. ами дослідниками [3, 4]. І відносного значення часто свідчить про зниження

модуля пружності і підвищення розтяжності стінок крупних артерій до слідкуваного басейну.

Щодо показника часу систолічного підйому, слід відзначити, що у хворих даної групи в усіх випадках вищу точку РЕГ утворювала перша вершина, та інтервал  $ax$  завжди відповідав інтервалу  $ab$ . У всіх обстежених відзначалось вкорочення абсолютно чистого часу систолічного підйому кривої, а також зменшення його відносного значення. Водночас спостерігалось зменшення показників конфігурації систолічного відділу кривої, тобто амплітуд  $Ab_1$  і  $A_1$  та збільшення інтервалу  $xg$ , тобто зміщення дикротичного зубця до ізолінії. Сукупність викладених змін параметрів РЕГ вказує на зниження активності скоротливих елементів стінок дрібних артерій, тобто на зниження їх тонусу.

Рис. 4. Реоенцефалограма хворої Д., 40 років, з вегетативно-судинним гіпертонічним гіпоталамічним синдромом.

Умови позначення див. рис. 2.



Редукція показника конфігурації діастолічного відділу РЕГ кривої тобто амплітуди  $A_1$ , свідчить про вільний відток крові з артерій у вени.

У восьми хворих відзначається збільшення амплітуд  $Ab$  і  $Ax$ , що свідчить про збільшене кровонаповнення судин мозку. В двох випадках амплітуда була менша, ніж у контролі, що говорить про зменшене кровонаповнення. У однієї хворої кровонаповнення було нормальним.

Отже, зіставляючи результати візуального і кількісного аналізу РЕГ у хворих з гіпотонічним вегетативно-судинним гіпоталамічним синдромом можна зробити такий висновок. У більшості хворих РЕГ набирає вигляду початкового плато з швидким підйомом, чітко виявленими додатковими хвильами та інцизуорою, що, на думку ряду авторів, є наслідком перерозтягнення судин в зв'язку зі зниженням їх тонусу (цит. за 11). Кількісний аналіз також підтверджує зниження тонусу як крупних (показники  $ab$ ,  $ab/T$ ,  $Ra$ ), так і дрібних артерій (показники  $ax$ ,  $xg$ ,  $Ab_1$ ,  $A_1$ ) басейну внутрішньої сонної артерії і пов'язане з цим їх збільшене кровонаповнення, оскільки вплив інших факторів, які визначають ступінь кровонаповнення (ударний об'єм крові, артеріальний тиск) у цих хворих незначний [7].

Наши дані співзвучні з результатами інших досліджень [8, 9, 10], в яких у хворих з гіпотонічним гіпоталамічним синдромом встановлене переважання вегетативних депресорних реакцій, що автори пов'язують зі зниженням тонусу нейрогуморальних систем — симпато-адреналової, гіпоталамо-гіпофізарно-надніиркової тощо.

*Реоенцефалографічні дані у хворих з вегетативно-судинним гіпертонічним гіпоталамічним синдромом.*

Всього було обстежено 19 жінок віком від 24 до 46 років. Відмінніми рисами гіпоталамічного гіпертонічного вегетативно-судинного синдрому, як і гіпотонічного, є переважання вегетативних і, особливо, вегетативно-судинних розладів, проте з тенденцією до їх прояву у вигляді кризів переважно за симпатичним типом. Нерідко при цьому наявні окремі симптоми, притаманні реакціям парасимпатичної нервової системи. Поза кризом хворі скаржаться на непостійні головні болі пульсуючого, здавлюючого характеру, запаморочення, нерідко з відчуттям провалювання, болі в ділянці серця, рідше серцебиття.

За даними реоенцефалографії, обстежених хворих з вегетативно-судинним гіпertonічним синдромом можна поділити на дві групи.

Перша група включала десять хворих віком від 24 до 46 років. Артеріальний тиск коливався в межах 160—120  $\text{мм}$  рт. ст. для максимального і 100—70  $\text{мм}$  рт. ст. для мінімального. Зміни церебральної гемодинаміки у даній групі в порівнянні з попередньою носили протилежний характер. Візуально у більшості обстежених форма пульсовых хвиль горбовидна, їх вершина утворює пізня систолічна хвиля. Інцизура і дикротичний зубець згладжені і зміщені вгору (рис. 4). Тривалість пульсового циклу в порівнянні зі значенням цього показника у здорових осіб і хворих попередньої групи збільшена, що узгоджується з даними літератури. Як відзначають Макарченко і Дінабург [10], у хворих з гіпertonічним гіпоталамічним синдромом почастішання серцевиття спостерігалось значно менше, ніж з гіпотонічним. Частота пульсу у них становила в середньому 79 ударів за хв. Спостерігається вкорочення часу систолічного відділу і зменшення відносного значення цього показника. Час швидкого систолічного підйому і запізнення пульсової хвилі не відрізняється від їх значення у здорових осіб, що свідчить про добру розтяжність і еластичність стінок крупних артерій. Збільшення абсолютної і відносного значення інтервалу  $a_x$ , ріст амплітуди  $A_{b_1}$  і  $A_1$  поряд з одночасною редукцією інтервалу  $x_g$ , тобто зміщенням дикротичного зубця до вершини РЕГ кривої, вказує на підвищення тонусу скоротливих елементів стінок дрібних артерій. Ріст амплітуди  $A_{II}$  при цьому свідчить про утруднення відтоку крові з артерій у вени. Кровонаповнення судин мозку у хворих цієї групи дещо знижене.

Отже, результати реоенцефалографічних досліджень дозволяють зробити висновок, що у хворих з вегетативно-судинним гіпertonічним гіпоталамічним синдромом спостерігається підвищення тонусу дрібних артерій басейну внутрішньої сонної артерії поряд зі збереженою еластичністю і здатністю до розтягнення крупних судин. При цьому відзначається зменшення кровонаповнення судин.

Переважання пресорних реакцій у даних хворих відзначають й інші автори [10] та пов'язують це з підвищеннем у них тонусу нейрогуморальних систем.

Друга група включає дев'ять хворих віком від 35 до 46 років. Максимальний артеріальний тиск коливався в межах 140—115  $\text{мм}$  рт. ст., а мінімальний — 100—70  $\text{мм}$  рт. ст. У хворих цієї групи при візуальній оцінці вершина РЕГ закруглена, а частіше плоска, інколи має вигляд плато. Дикротичний зубець та інцизура менш чіткі, ніж у хворих з гіпотонічним синдромом.

При кількісному аналізі виявлене вкорочення пульсового циклу та його систолічного відділу, що вказує на почастішання серцевих скорочень. Відносне значення показника  $a_x$  істотно не відрізняється від його значення в контролі, що свідчить про те, що менша тривалість циклу обумовлена, в основному, більш коротким діастолічним відділом. Збільшення абсолютної і відносного значення інтервалу  $a_b$  є показником зниження пружності крупних артерій інтрацраніального відрізка басейну внутрішньої сонної артерії. Інтервал  $a_x$  та амплітуди  $A_{b_1}$  і  $A_1$  — показники, які характеризують периферичний судинний опір, — менші, а інтервал  $x_g$  більший, ніж у контрольній групі, що вказує на регіонарне зниження тонусу дрібних артерій басейну. Показник конфігурації діастолічного відділу РЕГ ( $A_{II}$ ) нижче норми, що свідчить про вільний відток у вени. У семи хворих цієї групи спостерігалось зменшення амплітуди  $A_b$  і  $A_x$ , що свідчить про зменшення кровонаповнення судин, у двох хворих — мало місце збільшення кровонаповнення.

#### Церебральна гемодинаміка

Показники	Середні значення параметрів обстежені		
	Одиниці вимірювання	Плавку мозку	Здор
$T$	сек	п л	0,82 0,82
$a_x$	сек	п л	0,31 0,30
$a_x/T$	%	п л	38,06 36,88
$a_b$	сек	п л	0,08 0,08
$a_b/T$	%	п л	10,81 10,48
$R_a$	сек	п л	0,11 0,11
$a_x$	сек	п л	0,13 0,12
$a_x/T$	%	п л	15,93 15,36
$x_g$	сек	п л	0,25 0,25
$x_g/T$	%	п л	31,22 31,58
$A_{b_1}$	%	п л	103,95 100,01
$A_1$	%	п л	90,54 87,30
$A_{II}$	%	п л	56,55 57,02
$A_b$	ом	п л	0,172 0,167
$A_x$	ом	п л	0,184 0,178
$A/K$		п л	1,84 1,78

Слід відзначити, що діагностична картина вона дрому. Водночас за результатами синдрому, хоча цьому у хворих з гіпertonічним си

Отже, цю групу хворих відповідає клінічним спадинних розладів із зміною нерідко його підвищеннем ті

хворих з вегетативнотипами на дві групи. від 24 до 46 років. Артеріальні ст. для максимального церебральної гемодинаміки і протилежний характер. хвиль горбовидна, кизура і дикротичний звук пульсового циклу в ювільних осіб і хворих попевненою літературою. Як відомо, з гіпертонічним гіпотонічним спостерігалось значно становила в середньому у систолічного відділу і час швидкого систолічного спостерігається від їх значення зтяжність і еластичність го і відносного значення дночасною редукцією іншої до вершини РЕГ кри- елементів стінок дрібних про утруднення відтоку мозку у хворих цієї груп.

досліджень дозволяють судинним гіпертонічним зищенню тонусу дрібних рядів зі збереженою ела- удин. При цьому відзначають відмінні відмінності у тонусу нейрогуморальних

від 35 до 46 років. Максимальна 140—115 мм рт. ст., а вій групи при візуальній оска, інколи має вигляд ткі, ніж у хворих з гіпотонічною пульсовою циклою та підвищення серцевих скорочень відрізняється від його тривалістю циклу обусловлено відділом. Збільшувати  $A_b$  є показником

ального відрізка басейну туди  $A_{b_1}$  і  $A_1$  — показником опір, — менші, а інказує на регіонарне зникнення конфігурації діастолічного притоку вільний відток у меншенню амплітуди  $A_b$  зменшення судин, у двох хво-

Середні значення параметрів реоенцефалограм лобно-сосковидного відвedenня у обстежених хворих в контрольній групі ( $M \pm m$ )

Показники	Одиниці вимірювання	Півкуля мозку	Здорові, $n=8$	Хворі з вегетативно-судинним гіпотонічним гіпоталамічним синдромом, $n=11$		Хворі з вегетативно-судинним гіпертонічним гіпоталамічним синдромом	
				I гр., $n=10$	II гр., $n=9$	I гр., $n=10$	II гр., $n=9$
$T$	сек	п	$0,82 \pm 0,015$	$0,74 \pm 0,037$	$0,86 \pm 0,050$	$0,73 \pm 0,057$	
		л	$0,82 \pm 0,016$	$0,74 \pm 0,037$	$0,88 \pm 0,052$	$0,73 \pm 0,057$	
$a_b$	сек	п	$0,31 \pm 0,006$	$0,28 \pm 0,008$	$0,30 \pm 0,013$	$0,28 \pm 0,013$	
		л	$0,30 \pm 0,005$	$0,27 \pm 0,009$	$0,29 \pm 0,013$	$0,27 \pm 0,014$	
$a_b/T$	%	п	$38,06 \pm 0,98$	$39,45 \pm 1,52$	$35,35 \pm 1,12$	$39,11 \pm 1,90$	
		л	$36,88 \pm 0,75$	$38,01 \pm 1,23$	$33,37 \pm 1,14$	$37,75 \pm 1,85$	
$a_b$	сек	п	$0,08 \pm 0,004$	$0,09 \pm 0,004$	$0,08 \pm 0,004$	$0,09 \pm 0,007$	
		л	$0,08 \pm 0,004$	$0,09 \pm 0,005$	$0,08 \pm 0,004$	$0,08 \pm 0,006$	
$a_b/T$	%	п	$10,81 \pm 0,66$	$13,01 \pm 0,75$	$10,18 \pm 0,61$	$12,69 \pm 1,00$	
		л	$10,48 \pm 0,58$	$12,26 \pm 0,60$	$9,32 \pm 0,45$	$11,40 \pm 0,77$	
$R_a$	сек	п	$0,11 \pm 0,007$	$0,11 \pm 0,005$	$0,11 \pm 0,007$	$0,11 \pm 0,007$	
		л	$0,11 \pm 0,008$	$0,11 \pm 0,006$	$0,12 \pm 0,009$	$0,11 \pm 0,007$	
$a_x$	сек	п	$0,13 \pm 0,025$	$0,09 \pm 0,004$	$0,18 \pm 0,026$	$0,09 \pm 0,007$	
		л	$0,12 \pm 0,023$	$0,09 \pm 0,005$	$0,14 \pm 0,029$	$0,08 \pm 0,006$	
$a_x/T$	%	п	$15,93 \pm 4,29$	$13,01 \pm 0,75$	$22,15 \pm 3,27$	$12,69 \pm 1,00$	
		л	$15,36 \pm 2,77$	$12,26 \pm 0,60$	$16,37 \pm 3,38$	$11,40 \pm 0,77$	
$x_g$	сек	п	$0,25 \pm 0,025$	$0,27 \pm 0,015$	$0,19 \pm 0,029$	$0,26 \pm 0,015$	
		л	$0,25 \pm 0,025$	$0,26 \pm 0,010$	$0,22 \pm 0,026$	$0,26 \pm 0,019$	
$x_g/T$	%	п	$31,22 \pm 3,09$	$36,89 \pm 2,14$	$21,27 \pm 2,82$	$36,77 \pm 1,81$	
		л	$31,58 \pm 3,06$	$36,02 \pm 1,90$	$25,01 \pm 2,88$	$36,40 \pm 2,17$	
$A_{b_1}$	%	п	$103,95 \pm 9,92$	$90,56 \pm 1,89$	$111,94 \pm 7,99$	$91,94 \pm 2,09$	
		л	$100,01 \pm 10,11$	$85,14 \pm 3,60$	$107,45 \pm 8,01$	$87,68 \pm 2,23$	
$A_1$	%	п	$90,54 \pm 9,39$	$72,21 \pm 4,10$	$100,32 \pm 9,12$	$72,80 \pm 5,15$	
		л	$87,30 \pm 10,12$	$71,86 \pm 3,71$	$93,04 \pm 8,56$	$71,52 \pm 4,29$	
$A_{II}$	%	п	$56,55 \pm 7,84$	$46,91 \pm 2,31$	$62,75 \pm 6,66$	$49,56 \pm 5,10$	
		л	$57,02 \pm 6,45$	$47,22 \pm 5,00$	$59,46 \pm 4,19$	$47,72 \pm 3,52$	
$A_b$	ом	п	$0,172 \pm 0,015$	$0,193 \pm 0,020$	$0,155 \pm 0,011$	$0,152 \pm 0,013$	
		л	$0,167 \pm 0,017$	$0,174 \pm 0,026$	$0,143 \pm 0,006$	$0,154 \pm 0,018$	
$A_x$	ом	п	$0,184 \pm 0,009$	$0,193 \pm 0,020$	$0,176 \pm 0,012$	$0,152 \pm 0,013$	
		л	$0,178 \pm 0,012$	$0,174 \pm 0,026$	$0,157 \pm 0,005$	$0,154 \pm 0,018$	
$A/K$		п	$1,84 \pm 0,09$	$1,93 \pm 0,20$	$1,76 \pm 0,12$	$1,52 \pm 0,14$	
		л	$1,78 \pm 0,12$	$1,74 \pm 0,26$	$1,57 \pm 0,05$	$1,54 \pm 0,18$	

Слід відзначити, що дана група хворих займає особливе місце. За клінічною картиною вона може бути віднесена до гіпертонічного синдрому. Водночас за результатами РЕГ вона наближається до гіпотонічного синдрому, хоча цьому суперечить зниження кровонаповнення, як і у хворих з гіпертонічним синдромом.

Отже, цю групу хворих за даними РЕГ слід віднести до проміжної, що відповідає клінічним спостереженням про лабільність вегетативно-судинних розладів із зміною підвищення, зниження артеріального тиску і нерідко його підвищення тільки під час кризів [10].

Проведені нами реоенцефалографічні дослідження хворих з вегетативно-судинним гіпоталамічним синдромом дозволяють об'єктивно вивчати патофізіологічні механізми, що лежать в основі порушення мозкової гемодинаміки, одержувати об'єктивну інформацію про функціональний стан судин басейну внутрішньої сонної артерії і об'ємні пульсові зміни їх кровопостачання. Однак відведення з півкуль відображають сумарне кровопостачання і, ймовірно, не повністю характеризують перерозподіл крові в окремих ділянках мозку.

### Література

- Боголепов Н. К., Корчагина В. Г., Духовная О. Л.—Сердечно-сосудистые нарушения у больных с патологией гипоталамуса. Врачебное дело, 1973, 9, 37.
- Воронюк М. И.—Состояние церебральной гемодинамики у больных с поражением стволово-диэнцефальной области мозга по данным реоэнцефалографии. Автореф. дисс., Харьков, 1969.
- Ганелина И. С., Петровская В. П.—Электро- и векторографические изменения у больных с диэнцефальным синдромом. Врачебное дело, 1965, 5, 89.
- Гращенко Н. И., Севастьянова Г. А.—Инфекционные поражения межуточного мозга. Журн. невропатол. и психиатр., 1958, 58, 4, 395.
- Гращенко Н. И.—Гипоталамус, его роль в физиологии и патологии, М., «Наука», 1964.
- Гуревич М. И., Карпова А. Г.—Вплив електричної стимуляції структур мигдалевидного комплексу людини на гемодинаміку. Фізіол. журн. АН УРСР, 1973, 19, 5, 637.
- Энния Г. И.—Реография как метод оценки мозгового кровообращения, Рига, «Зинатне», 1973.
- Макарченко О. Ф., Дінабург Г. Д., Ройтруб Б. А., Горбач Н. Л., Лаута А. Д., Клебанова Л. Б.—До питання про патогенез і клініку уражень гіпоталамуса. Фізіол. журн. АН УРСР, 1966, 12, 2, 155.
- Макарченко А. Ф., Дінабург А. Д., Ройтруб Б. А., Горбач Н. Л., Ерыш А. И.—О патогенезе хронически протекающих диэнцефальных синдромов инфекционной этиологии. Журн. невропатол. и психиатр., 1968, 78, 3, 368.
- Макарченко А. Ф., Дінабург А. Д.—Межуточный мозг и вегетативная нервная система. К., «Наукова думка», 1971.
- Минц А. Я., Ронкин М. А.—Реографическая диагностика сосудистых заболеваний головного мозга. К., «Здоровье», 1967.
- Федоровский Г. Н.—Реоэнцефалография при некоторых заболеваниях мозга. Автореф. доктор. дисс., М., 1967.
- Шамрай Е. Ф., Бондаренко Л. П., Зозуля И. С., Покрасен Н. М.—Электро- и реоэнцефалографические показатели при лечении галаскорбіном больных, страдающих гипоталамическими расстройствами. Врачебное дело, 1971, 4, 114.
- Яруллин Х. Х.—Клиническая реоэнцефалография, Л., «Медицина», 1967.

Відділ фізіології проміжного мозку  
Інституту фізіології ім. О. О. Богомольця  
АН УРСР, Київ

Надійшла до редакції  
26.III 1975 р.

E. A. Vashchenko

### CEREBRAL HEMODYNAMICS IN PATIENTS WITH HYPOTHALAMUS AFFECTION FROM DATA OF RHEOENCEPHALOGRAPHIC STUDIES

#### Summary

The rheoencephalographic (REG) studies were performed on 30 women suffering from vegetative-vascular hypo- and hypertonic syndrome. The front-mastoidal recording reflecting the state of cerebral hemodynamics in the basin of internal carotid artery was used in the studies. The data obtained made it possible to study the peculiarities of cerebral hemodynamics, the functional state and congestion of vessels in the basin of the internal carotid artery.

Department of Diencephalon Physiology,  
the A. A. Bogomoletz Institute of Physiology,  
Academy of Sciences, Ukrainian SSR, Kiev

### ВПЛИВ РЕГУЛЯРНИХ НА СТАІ ДЕЯКИХ А

Дослідження функціонスペціалізацій становить не Загальновідомо, що жоден рою всі функції організму, ному конкретному випадку окремих органів і систем, називати ведучими. Знання виду м'язової діяльності діяльних проб з метою адек

Ми зробили спробу до рухового апарату і деяких лярного) за даними цілого

Дослідження вегетативного спортивна гімнастика виконанням короточасних шення тренованості в них досконалої регуляції м'язових функцій має при цьому дру

Про величину впливу тих станів організму гімнастики зразу після тренування ду. Такий методичний підхід зоологічних процесів в органах пов'язаний зі змінами, що в 18 та ін.]

Фольборт [17] встановив глибші зміни в функціях змін є поступове зниження після роботи найбільші властей спостерігатиметься яких проходило найбільш і

В експериментах взяли учасником від 18 до 24 років, які залежали дві групи. До першої увійшли кандидати до другої — третій ордерники і оброблений статистично.